

ISTITUTO NAZIONALE DI FISICA NUCLEARE

Laboratori Nazionali di Frascati

LNF-77/57(R)
12 Dicembre 1977

A. Di Paolo e G. Penso: CALCOLO DELL'ACCETTANZA
NELLO SPAZIO DELLE FASI DEI CONTATORI DI
TAGGING IN ADONE.

INFN - Laboratori Nazionali di Frascati
Servizio Documentazione

LNF-77/57(R)

12 Dicembre 1977

A. Di Paolo e G. Penso^(x): CALCOLO DELL'ACCETTANZA NELLO SPAZIO DELLE FASI DEI CONTATORI DI TAGGING IN ADONE.

Riportiamo i risultati di un calcolo dell'accettanza, nello spazio delle fasi, dei contatori di tagging posti nel primo magnete curvante successivo ad una sezione dritta di Adone. Nell'eseguire questo calcolo sono state sistematicamente trascurate le possibili interazioni degli elettroni con il materiale incontrato lungo il loro percorso (pompe distribuite, pareti della ciambella). La presenza di tali interazioni può modificare i risultati qui ottenuti; in particolare per elettroni aventi energia prossima a quella massima rivelabile dai tagging, l'efficienza di tali contatori può scostarsi sensibilmente da quella calcolata^(o). Il calcolo, che riprende e completa i risultati già precedentemente ottenuti (G. Vignola, Rapporto LNF-71/15), è stato effettuato seguendo la traiettoria di un elettrone, emesso a partire da un qualsiasi punto di una delle sezioni dritte di Adone, lungo il canale magnetico costituito dalla sezione dritta stessa, il primo quadrupolo, il tratto dritto tra il primo ed il secondo quadrupolo, il secondo quadrupolo, il tratto dritto tra il secondo quadrupolo ed il magnete curvante ed infine il magnete curvante. Lungo questo canale magnetico, l'elettrone viene considerato perso ogniqualvolta esso urti la ciambella, la cui sezione è stata assunta rettangolare; inoltre esso è considerato accettato se la sua traiettoria interseca il plastico scintillatore del contatore di tagging. Scegliamo, sulla sezione dritta di partenza, il seguente sistema di riferimento:

- origine posta al centro della sezione dritta,
- asse x orizzontale centrifugo rispetto al centro di Adone,
- asse y verticale diretto verso l'alto,
- asse z coincidente con la direzione dei fasci, rivolto verso il contatore di tagging considerato.

La coordinata s è la coordinata curvilinea lungo l'orbita di equilibrio di Adone. P. θ , ϕ sono, rispettivamente l'impulso dell'elettrone emesso, il suo angolo polare rispetto all'asse z ed il suo angolo azimutale rispetto al piano xz assunto come piano $\phi = 0^\circ$.

(x) Istituto di Fisica dell'Università e INFN, Sezione di Roma.

(o) Comunicazione privata di G. P. Murtas.

L'unità di misura di P è l'impulso degli elettroni del fascio circolante in Adone; l'unità di misura di lunghezza è il metro. La posizione e la direzione dell'elettrone in ogni punto della sua traiettoria è definita dal vettore

$$\begin{pmatrix} x \\ x' \\ y \\ y' \end{pmatrix}$$

di componenti x , x' , y , y' , dove $x = x(s)$, $y = y(s)$, $x' = dx/ds$ e $y' = dy/ds$.

L'effetto di ciascun tratto dritto e dei quadrupoli su tale vettore è stato rappresentato dalle seguenti matrici:

tratto dritto

$$\begin{pmatrix} 1 & \Delta s & 0 & 0 \\ 0 & 1 & 0 & 0 \\ 0 & 0 & 1 & \Delta s \\ 0 & 0 & 0 & 1 \end{pmatrix}$$

primo quadrupolo

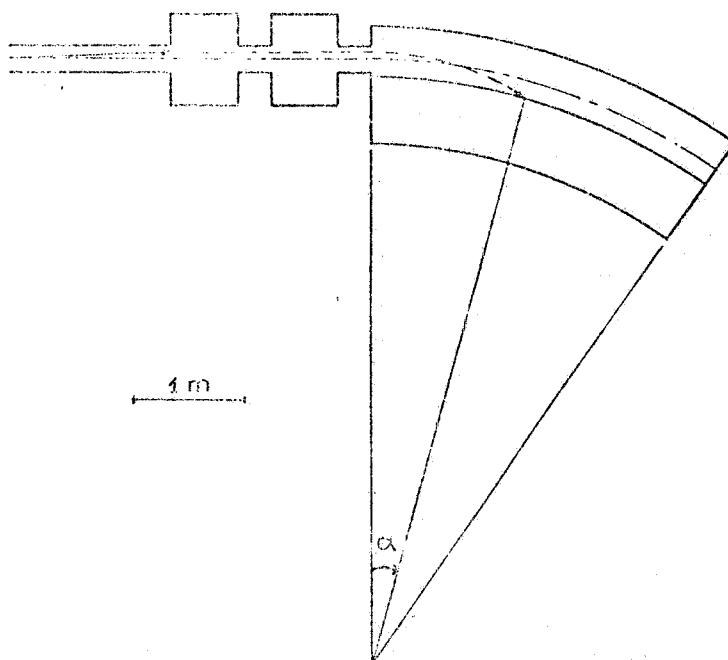
$$\begin{pmatrix} \cos K_f \Delta s & \frac{\sin K_f \Delta s}{K_f} & 0 & 0 \\ -K_f \sin K_f \Delta s & \cos K_f \Delta s & 0 & 0 \\ 0 & 0 & \cosh K_d \Delta s & \frac{\sinh K_d \Delta s}{K_d} \\ 0 & 0 & K_d \sinh K_d \Delta s & \cosh K_d \Delta s \end{pmatrix}$$

secondo quadrupolo

$$\begin{pmatrix} \cosh K_d \Delta s & \frac{\sinh K_d \Delta s}{K_d} & 0 & 0 \\ K_d \sinh K_d \Delta s & \cosh K_d \Delta s & 0 & 0 \\ 0 & 0 & \cos K_f \Delta s & \frac{\sin K_f \Delta s}{K_f} \\ 0 & 0 & -K_f \sin K_f \Delta s & \cos K_f \Delta s \end{pmatrix}$$

Dove Δs è l'ascissa curvilinea misurata lungo l'orbita di equilibrio a partire dal punto di ingresso delle particelle nell'elemento considerato (tratto dritto, primo quadrupolo, secondo quadrupolo) e dove $K_f = K_{of}/\sqrt{P}$, $K_d = K_{od}/\sqrt{P}$ essendo K_{of} e K_{od} le costanti caratteristiche del quadrupolo focheggiante e defocheggiante rispettivamente. Nel magnete curvante il campo è stato considerato uniforme e pertanto la traiettoria dell'elettrone è stata assimilata ad un'elica. Come dimostrato in precedenti lavori⁽¹¹⁾, il gradiente di campo esistente nei magneti curvanti non altera apprezzabilmente il risultato dei calcoli riguardanti il tagging. Il calcolo è stato effettuato mediante il programma di cui è riportata la lista. In esso:

XO, YO, ZO = coordinate del punto di emissione dell'elettrone,
RAD, VER = semilarghezza orizzontale e verticale della ciambella,
RM = raggio dell'orbita di equilibrio nel magnete curvante,
AL = semilunghezza della sezione dritta di Adone,
AQ = lunghezza dei quadrupoli,
A1 = lunghezza del tratto dritto compreso tra i quadrupoli,
A2 = lunghezza del tratto dritto compreso tra il 2° quadrupolo ed il magnete curvante,
AM = lunghezza dell'orbita di equilibrio nel magnete curvante,
AD = distanza tra il contatore di tagging e l'orbita di equilibrio nel magnete curvante,
TO = θ ,
FO = ϕ ,
FP = angolo α di Fig. 1,
SP = quota, rispetto al piano mediano di Adone, del punto di impatto dell'elettrone sul contatore di tagging.



Le dimensioni assunte per la sezione della ciambella sono:

- 23 cm in orizzontale e 6 cm, oppure 8 cm, in verticale,
- altezza pari all'altezza della ciambella (cioè 6 oppure 8 cm),
- lunghezza pari alla lunghezza di un arco di circonferenza di raggio RM-RD sotteso da un angolo di 30° (apertura angolare del magnete curvante).

Nel calcolo di seguito riportato è stato considerato il caso di elettrone emesso dal centro della sezione dritta considerata ($x_0 = y_0 = z_0 = 0$). I risultati di tale calcolo sono riportati nelle Figure 2, 3, 4, 5, 6, 7, 8, 9, 10 e 11.

L'accettanza del tagging è riportata nelle Figg. 2 e 3: in ascisse ed in ordinate sono riportati rispettivamente l'impulso P dell'elettrone ed il massimo valore di θ accettato, per vari valori di ϕ . Le Figg. 2a e 3a differiscono dalle Figg. 2b e 3b nelle dimensioni verticali della ciambella (rispettivamente di 6 ed 8 cm), inoltre nelle Figg. 2a e 2b si esamina l'intervallo in ϕ compreso tra 0° - 90° e nelle Figg. 3a e 3b l'intervallo tra 90° - 180° .

In Fig. 4 è rappresentata la posizione di arrivo degli elettroni sul tagging: sulle ascisse è riportato l'angolo (Fig. 1) e sulle ordinate la quota y del punto di impatto degli elettroni sul contatore.

In Fig. 5 è riportato l'impulso P dell'elettrone in funzione del punto di incidenza lungo il tagging: la curva centrale corrisponde ad elettroni emessi con $\theta = 0^\circ$, le curve superiori (P_{\max}) ed inferiori (P_{\min}) rappresentano per ogni valore di a rispettivamente i valori massimi e minimi di P accettati al variare di θ . Lo sdoppiamento della curva corrisponde ai due valori della dimensione verticale della ciambella. Tale effetto è invece trascurabile per la curva inferiore.

L'addensamento degli eventi nella banda compresa tra P_{\max} e P_{\min} , legato al potere risolutivo del contatore, dipende dalla reazione considerata: in seguito (Figg. 9 e 10) verranno considerate le reazioni di interazioni $\gamma\gamma$ e di bremsstrahlung sul gas residuo.

Nota l'accettanza angolare del tagging è possibile ottenere la sua efficienza geometrica in funzione dell'impulso P dell'elettrone rivelato, relativamente alla reazione presa in considerazione.

Tale calcolo, qui eseguito per elettroni emessi nelle reazioni di bremsstrahlung su gas e nei processi dovuti ad interazioni fotone-fotone, conduce alle curve di efficienza mostrate rispettivamente nelle Figg. 6 e 7.

L'efficienza $\epsilon(P)$ è definita, per ogni P , come rapporto tra il numero di elettroni rivelati dal contatore ed il numero totale di elettroni emessi su tutto l'angolo solido.

Le sezioni d'urto utilizzate nel calcolo sono state tratte dalla (1BS) della bibliografia (7) (bremsstrahlung su gas) e dalla (A3) del-

la bibliografia (8)^(x) (processi $\gamma\gamma$).

Questi risultati sono stati ottenuti utilizzando l'accettanza angolare riportata in Figg. 2 e 3 in cui, per ogni P , i valori massimi e minimi di θ accettati dipendono da ϕ ; essi possono però essere ricavati più semplicemente definendo un angolo massimo equivalente in θ , indipendente da ϕ , tale che

$$\int_{\phi_{\min}(P)}^{\phi_{\max}(P)} d\phi \int_{\theta_{\min}(P, \phi)}^{\theta_{\max}(P, \phi)} d\theta d\sigma_{P, \theta, \phi} = \int_0^{2\pi} d\phi \int_0^{\tilde{\theta}(P)} d\theta d\sigma_{P, \theta, \phi}.$$

I valori di $\tilde{\theta}(P)$, calcolati nel caso delle reazioni fotone-fotone, sono mostrati nelle Figg. 8 ottenute per una dimensione verticale della ciambella di 6 ed 8 cm rispettivamente. Per ottenere una valutazione del potere risolutivo in energia del contatore di tagging è stato calcolato lo spettro in a , cioè in posizione di arrivo degli elettroni sul contatore, degli eventi a P fissato, per le reazioni di bremsstrahlung su gas e fotone-fotone.

Tale spettro fornisce la distribuzione di elettroni monoenergetici lungo il tagging tenendo conto del fatto che i punti di incidenza dipendono, oltre che dall'energia, anche dagli angoli di emissione degli elettroni rivelati.

E' così possibile calcolare il potere risolutivo $\Delta P/P$ del tagging che, per le reazioni di bremsstrahlung su gas, risulta dell'ordine di 1-2% (Fig. 9) e per i processi $\gamma\gamma$ di 2-3% (Fig. 10).

In quest'ultimo caso il peggiore potere risolutivo è conseguenza della più larga distribuzione angolare degli elettroni. Naturalmente il potere risolutivo sperimentale dei contatori di tagging risulterà peggiore di quello calcolato a causa di vari fattori di cui non si è tenuto conto, quali ad esempio la possibilità che l'elettrone inizi a sciame attraversando il materiale che precede il contatore.

Infine per le reazioni $\gamma\gamma$ è stata calcolata la distribuzione in a degli elettroni emessi, integrando le sezioni d'urto sui valori di P , θ , ϕ accettati dal tagging. Tale distribuzione è mostrata in Fig. 11.

(x) Quest'ultima formula presenta un errore di stampa: precisamente il secondo termine tra parentesi quadra va moltiplicato per 2.

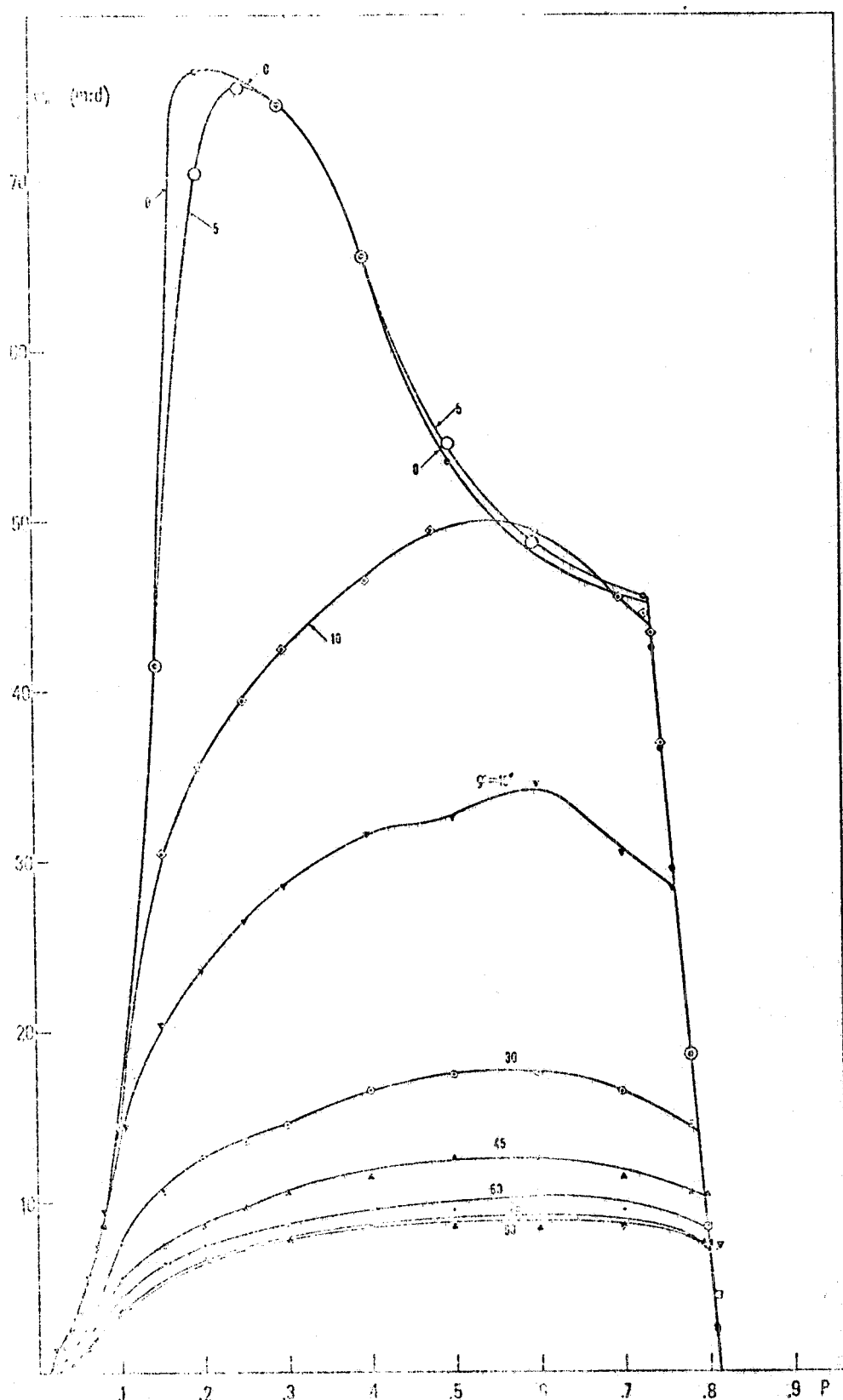


FIG 2a - Massimo valore di θ accettato, in funzione di P , per $0^\circ \leq \theta \leq 90^\circ$ - altezza della ciambella: 6 cm.

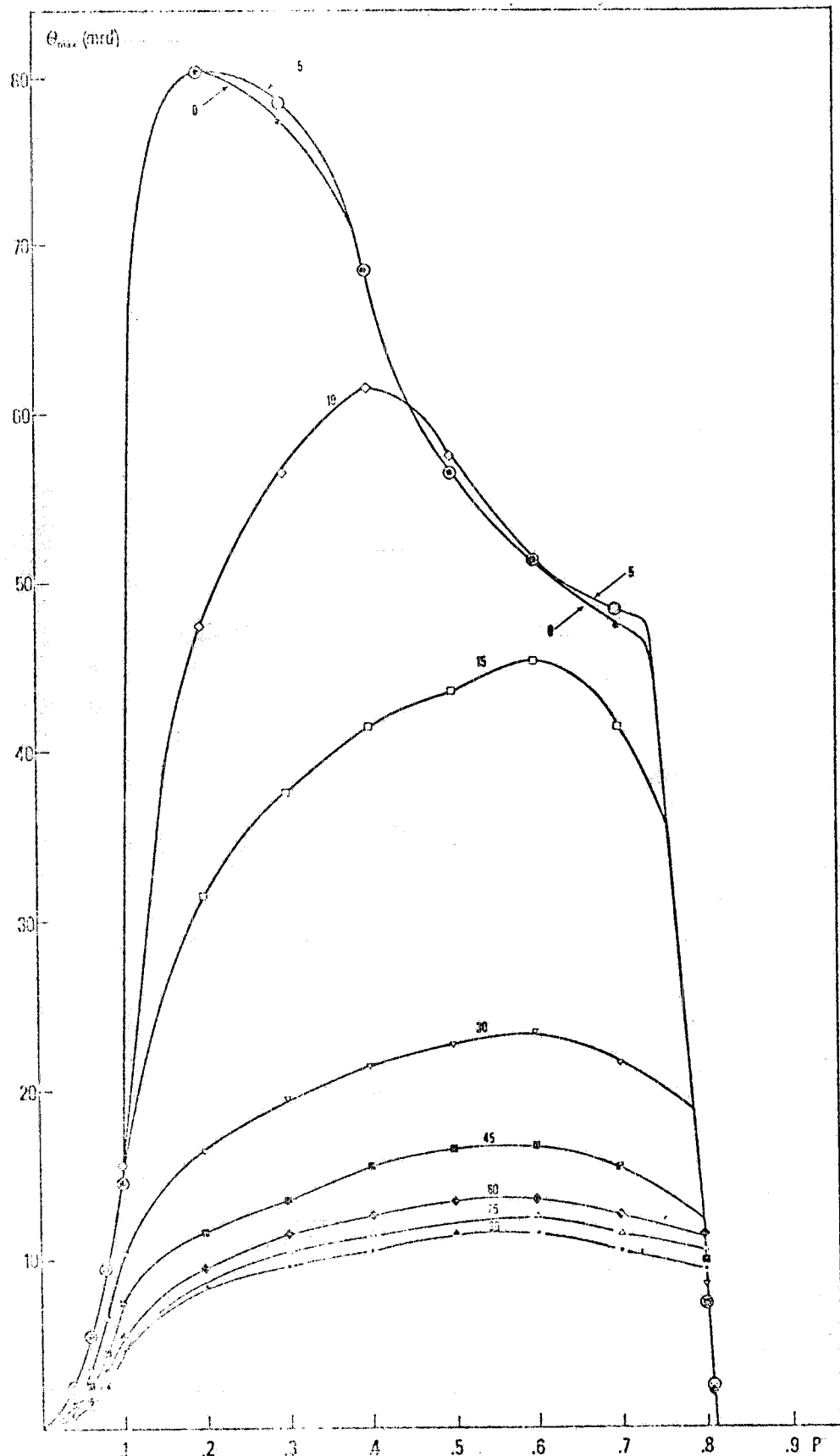


FIG. 2b - Massimo valore di θ accettata, in funzione di P , per $0^\circ \leq \phi \leq 90^\circ$ - altezza della ciambella: 8 cm.

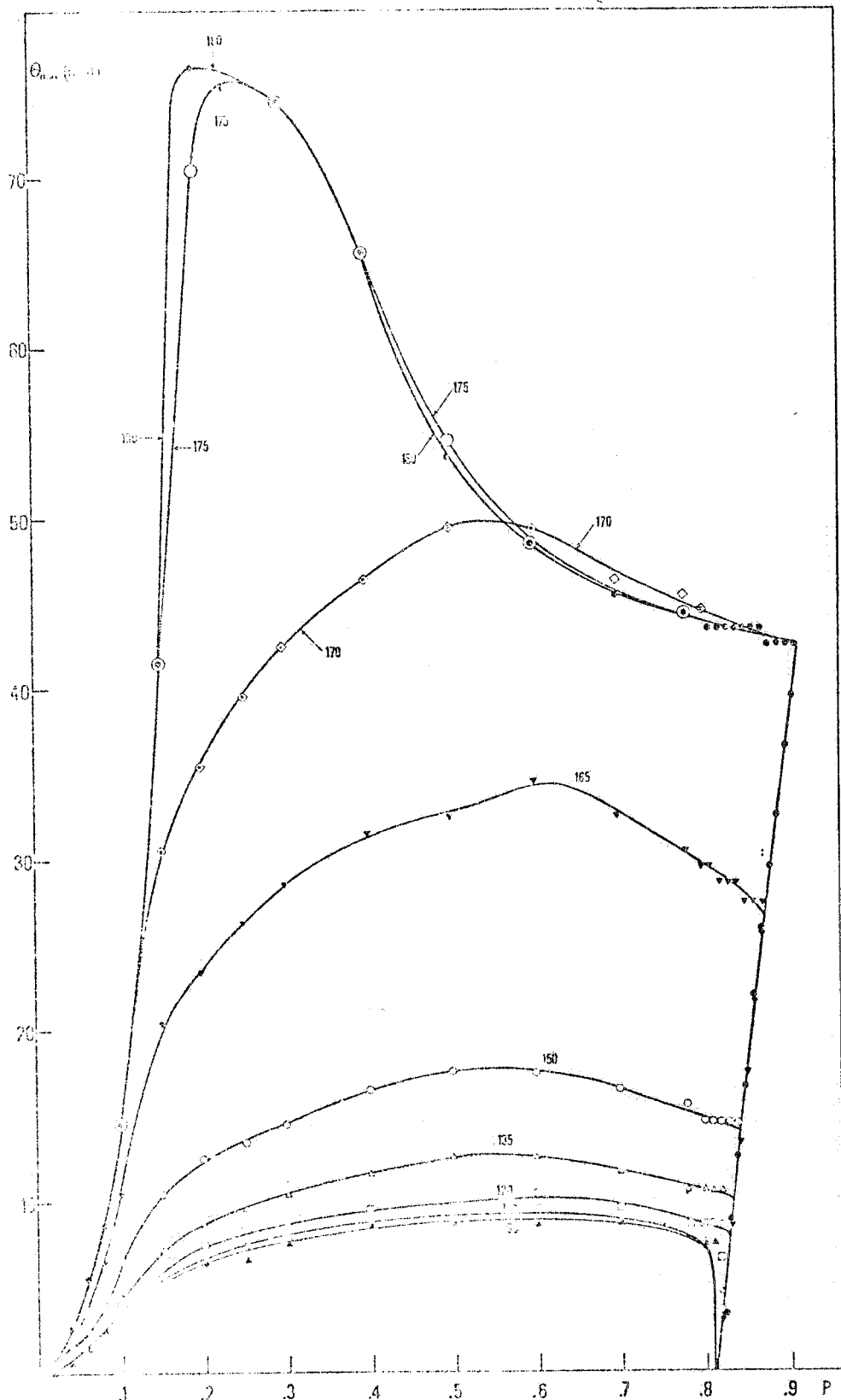


FIG. 3a - Massimo valore di θ accettato, in funzione di P , per $90^\circ \leq \bar{\phi} \leq 180^\circ$ - altezza della ciambella: 6 cm.

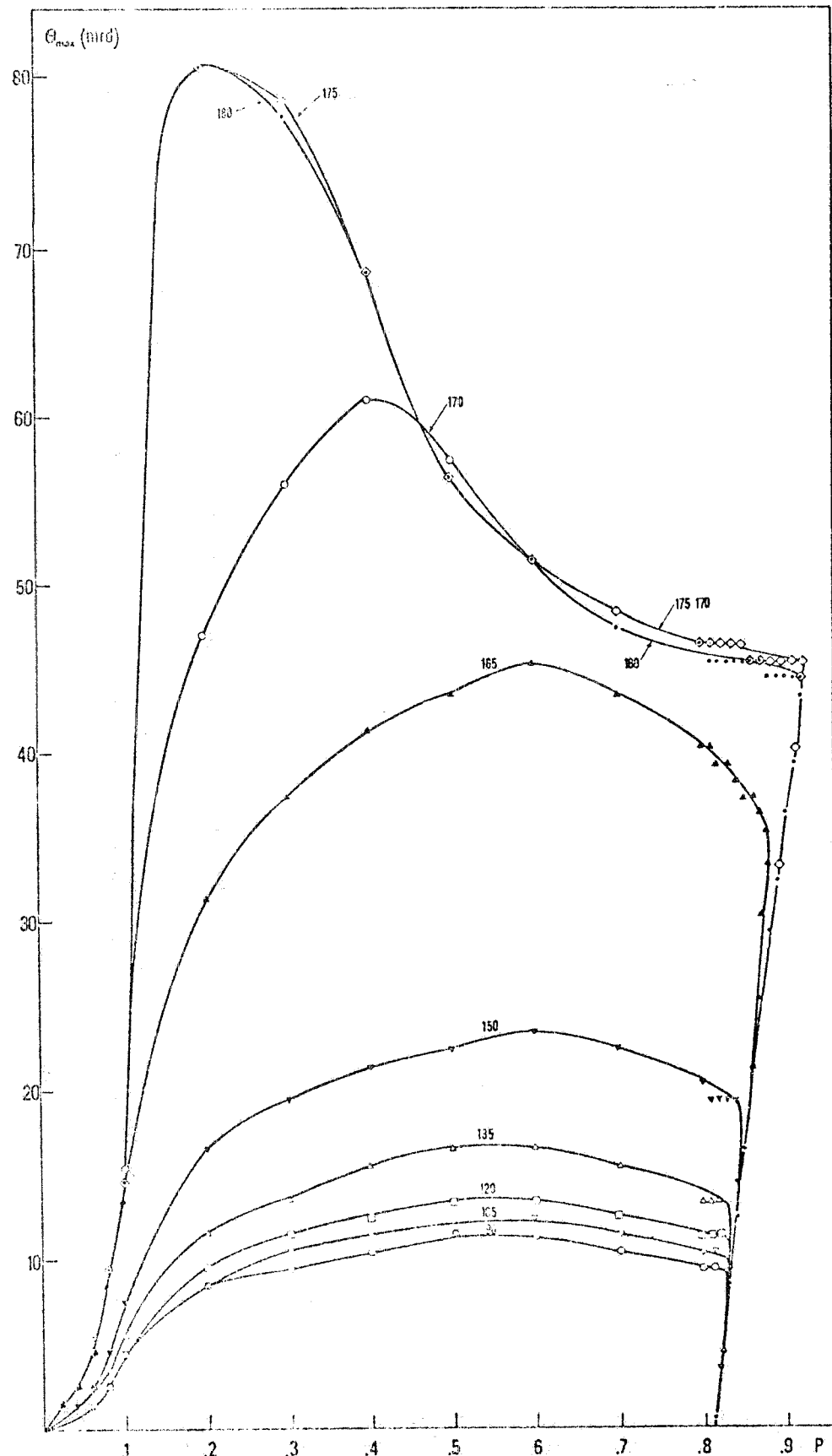


FIG. 3b - Massimo valore di θ accettato, in funzione di P , per $90^\circ \leq \phi \leq 180^\circ$ - altezza della ciambella: 8 cm.

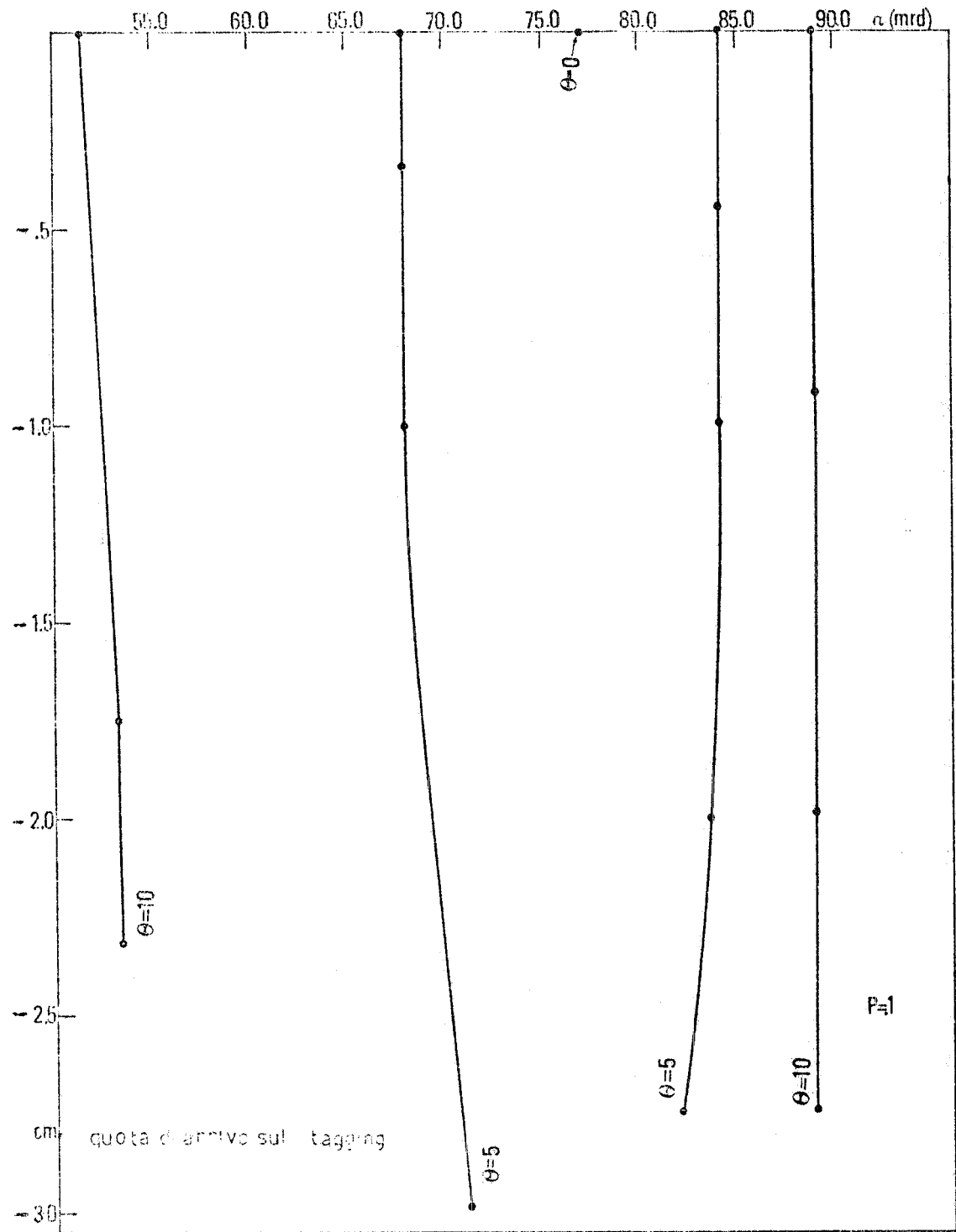


FIG. 4 a. - Quota di incidenza degli elettroni sul tagging in funzione della posizione (α) lungo il contatore. $P = 0.1$;
 $0^\circ \leq \phi \leq 180^\circ$.

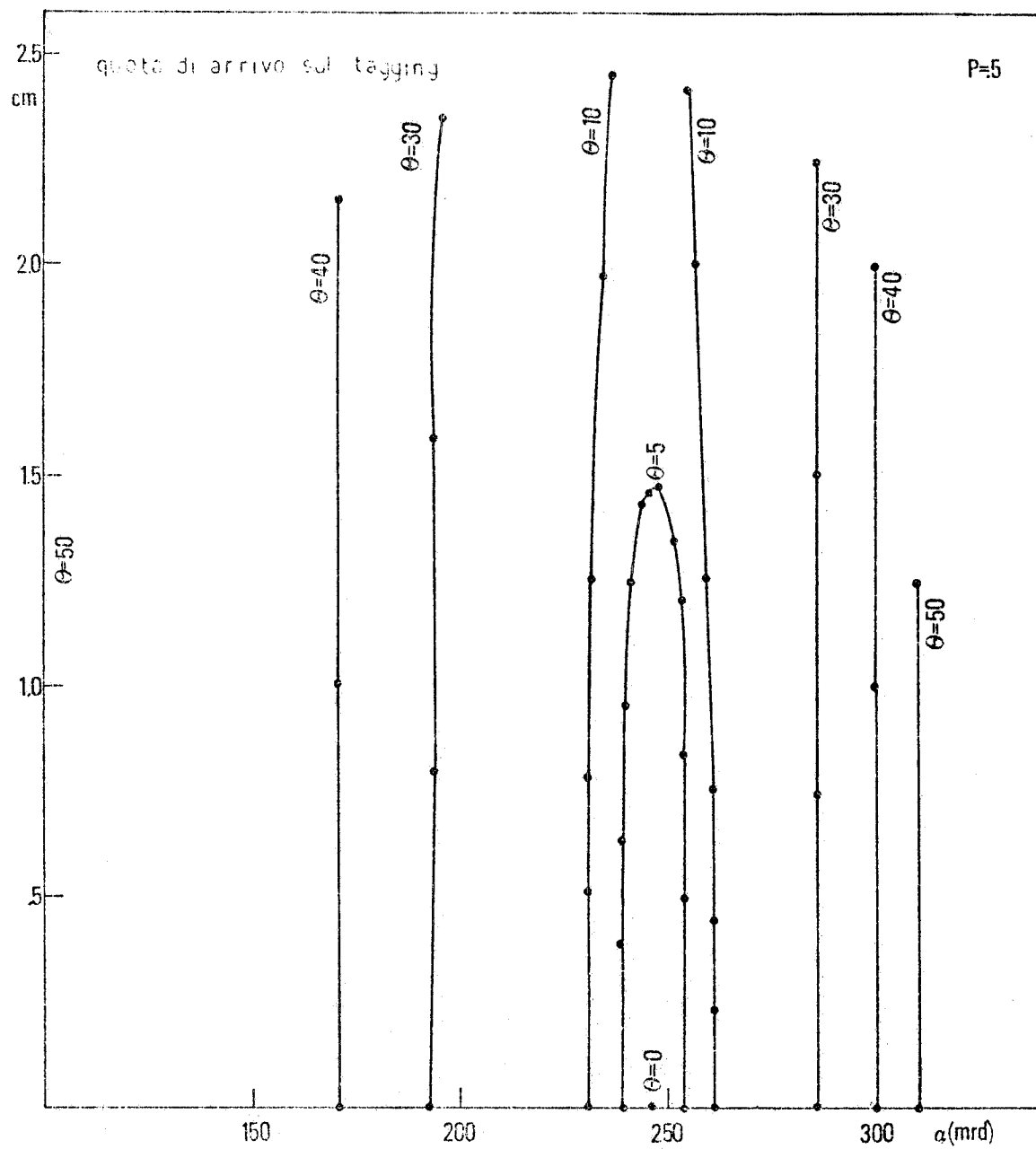


FIG. 4 b - Quota di incidenza degli elettroni sul tagging in funzione della posizione (α) lungo il contatore. $P = 0.5$; $0^\circ \leq \phi \leq 180^\circ$.

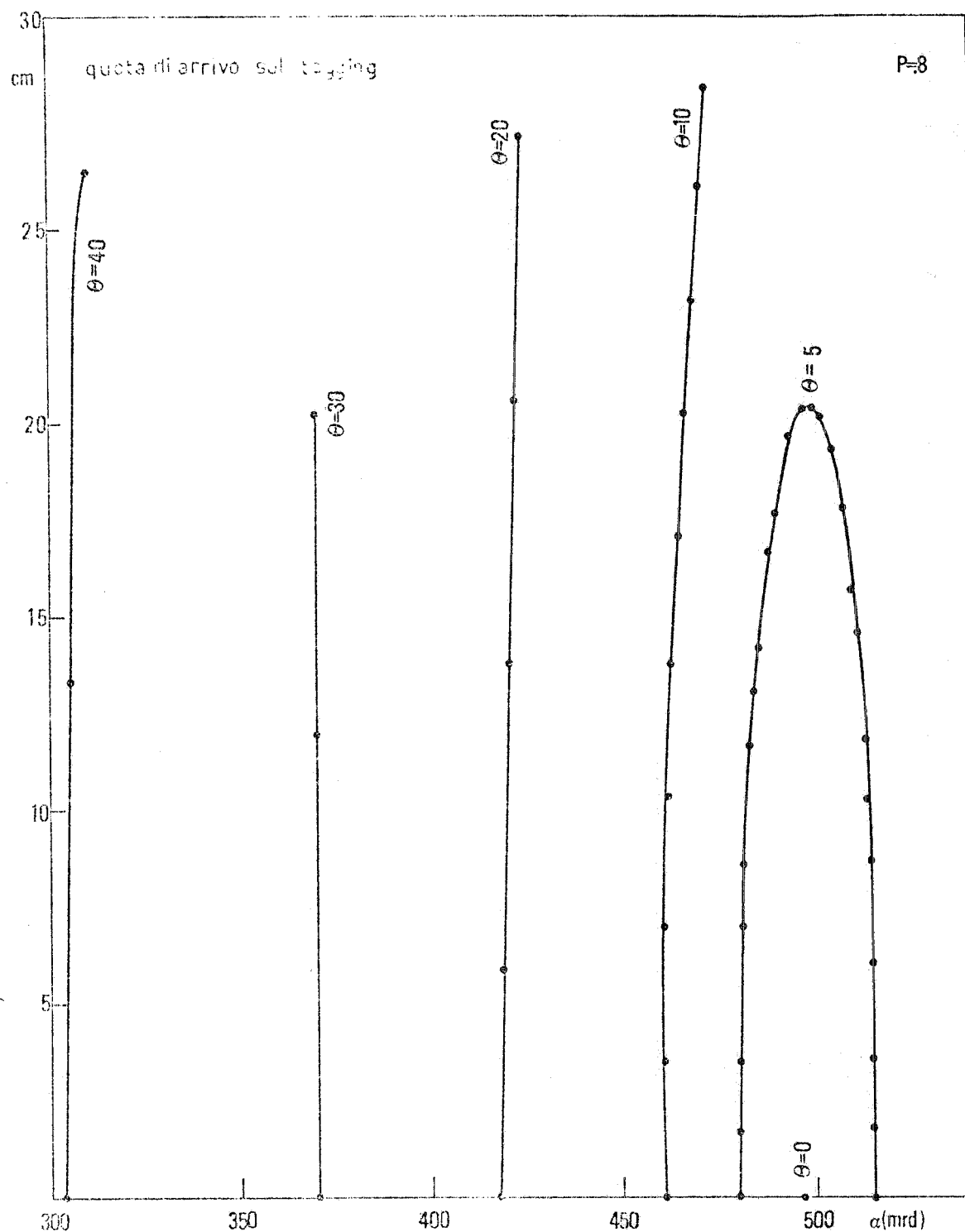


FIG. 4 c - Quota di incidenza degli elettroni sul tagging in funzione della posizione (α) lungo il contatore. $P = 0.8$;
 $0^\circ \leq \phi \leq 180^\circ$.

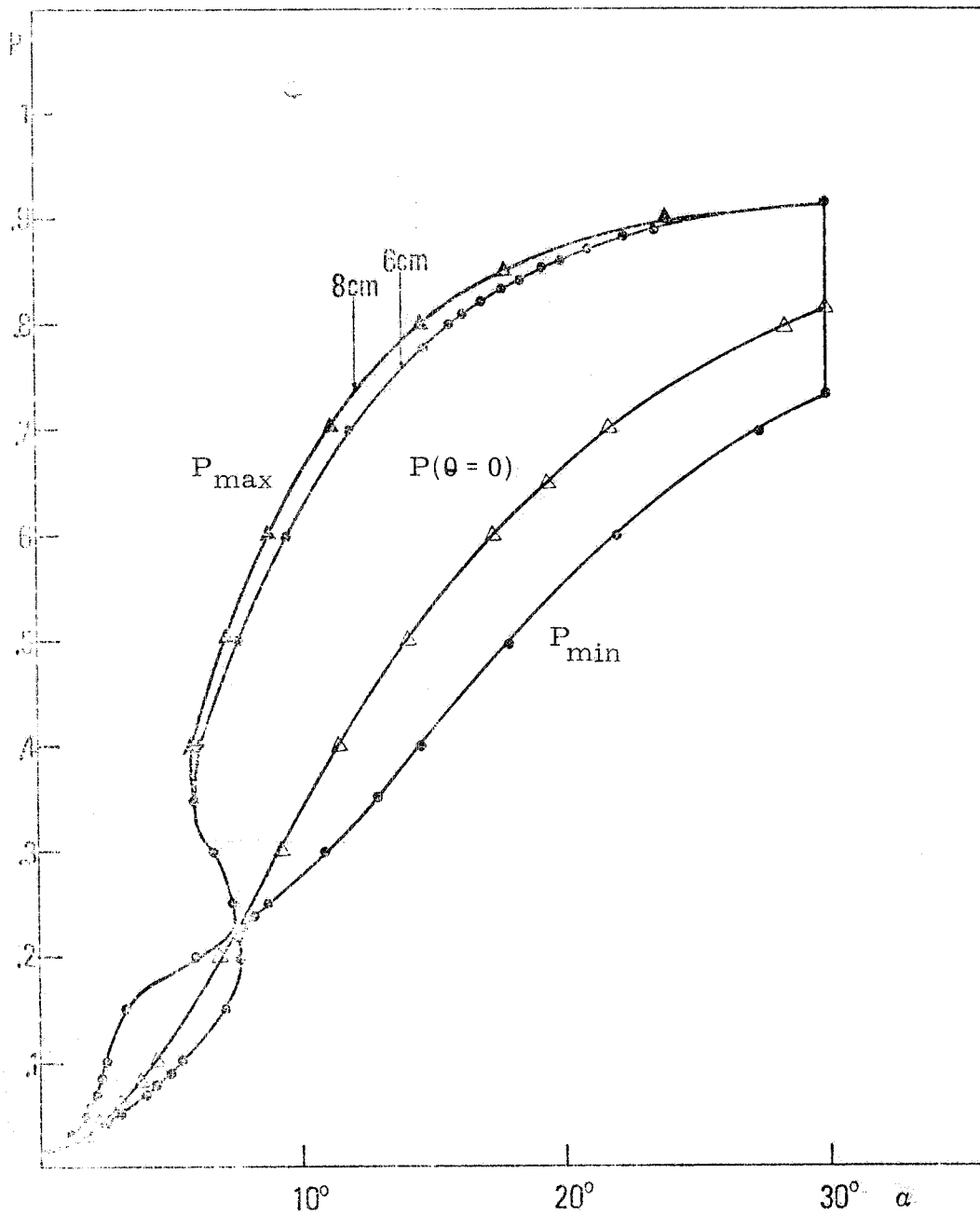


FIG. 5 - Impulso P dell'elettrone incidente sul tagging in funzione della posizione del punto di arrivo dell'elettrone lungo il contatore di tagging: la curva centrale corrisponde ad elettroni emessi con $\theta = 0^\circ$. Sulle curve superiori ed inferiori sono riportati rispettivamente i valori massimi e minimi di P accettati. L'effetto su tali valori, delle dimensioni della ciambella (1) radiale = 22 cm, verticale = 6 cm; (2) radiale = 23 cm, verticale = 8 cm) sono evidenti solo per la curva superiore.

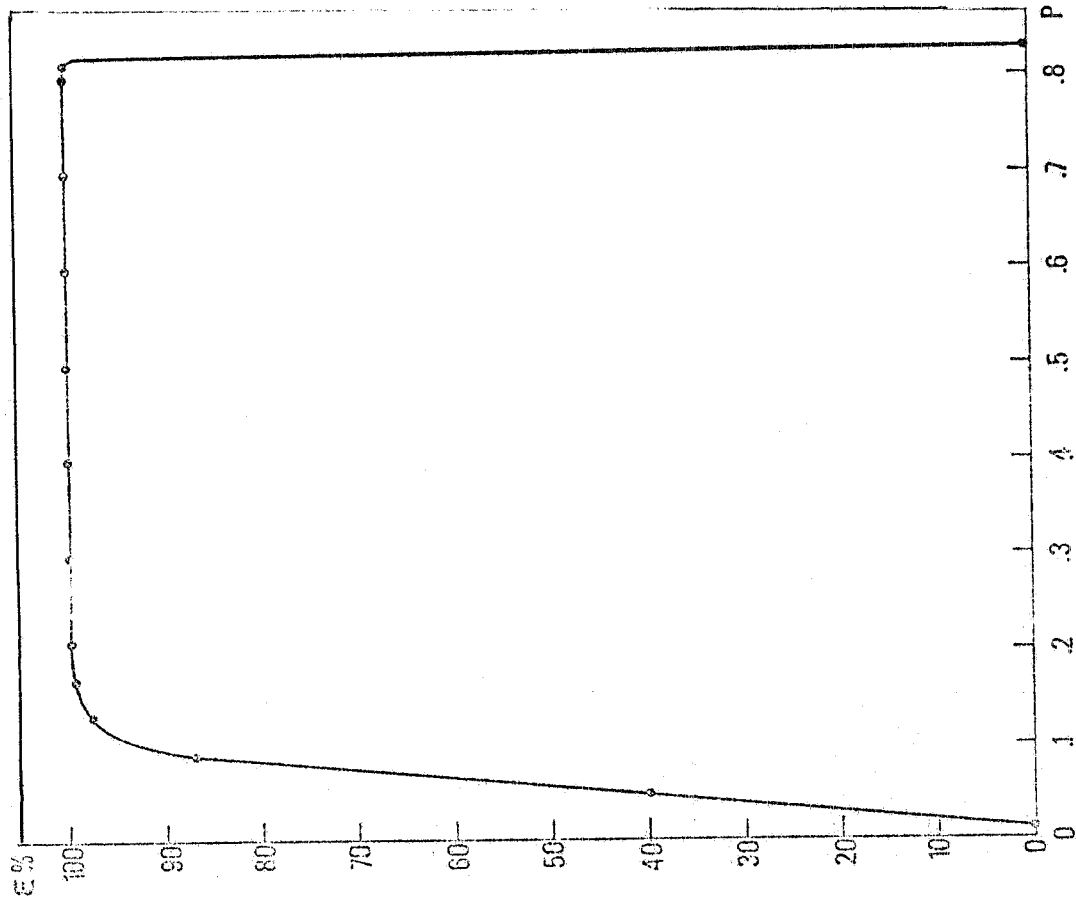


FIG. 6 - Efficienza di rivelazione degli elettroni provenienti dalla bremssstrahlung su gas.

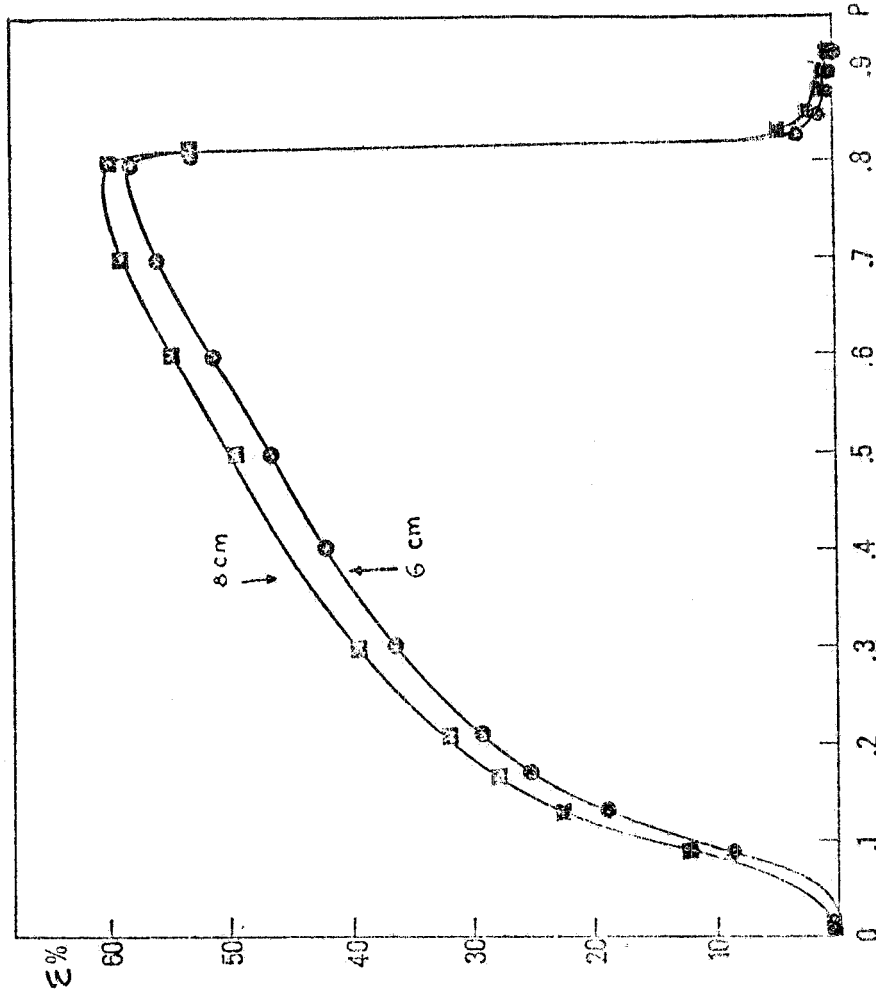


FIG. 7 - Efficienza di rivelazione degli elettroni provenienti da interazioni fotone-fotone. Le curve corrispondono a due valori dell'altezza della ciambella.

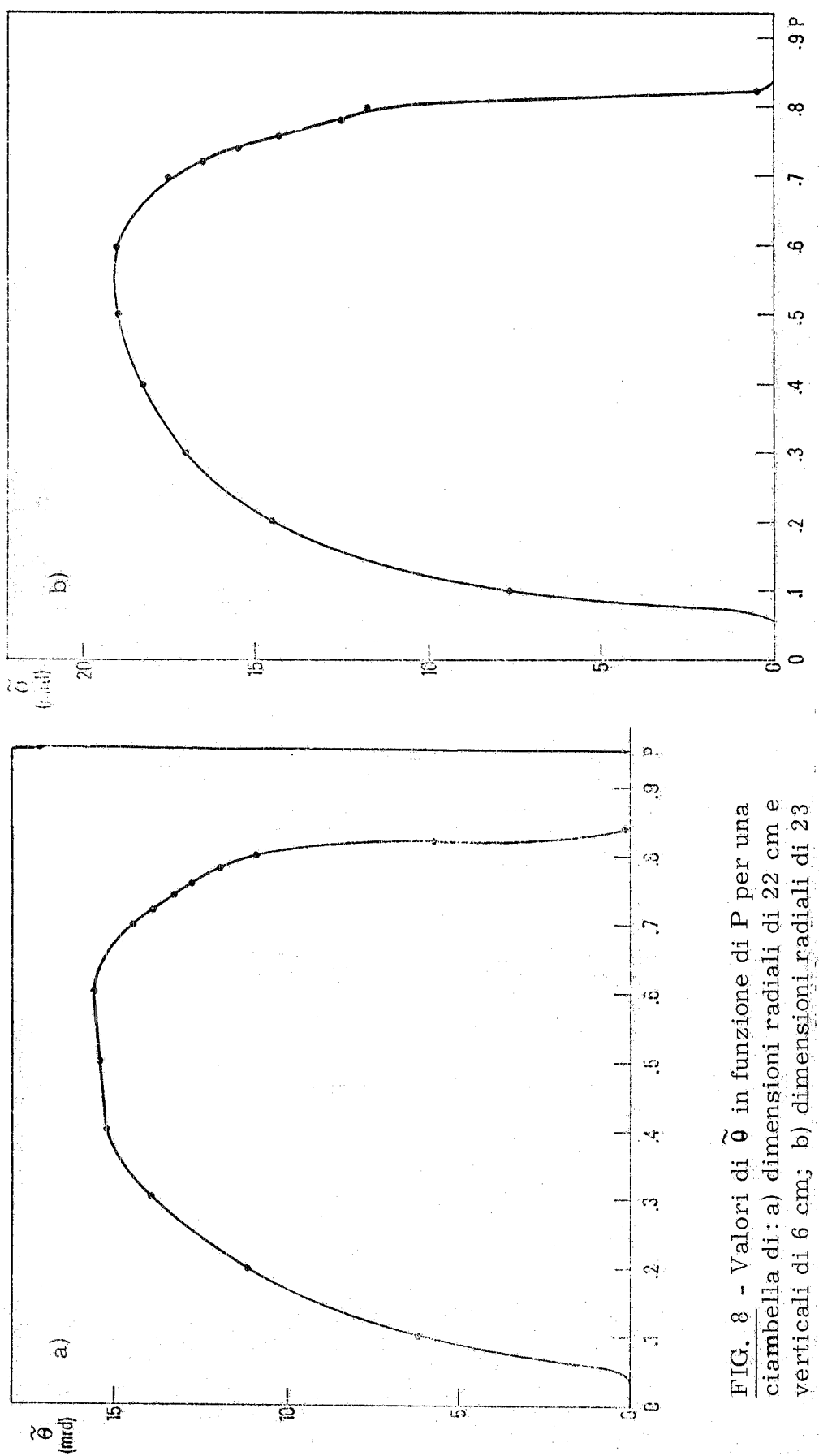


FIG. 8 - Valori di $\tilde{\theta}$ in funzione di \tilde{P} per una ciambella di: a) dimensioni radiali di 22 cm e verticali di 6 cm; b) dimensioni radiali di 23 cm e verticali di 8 cm.

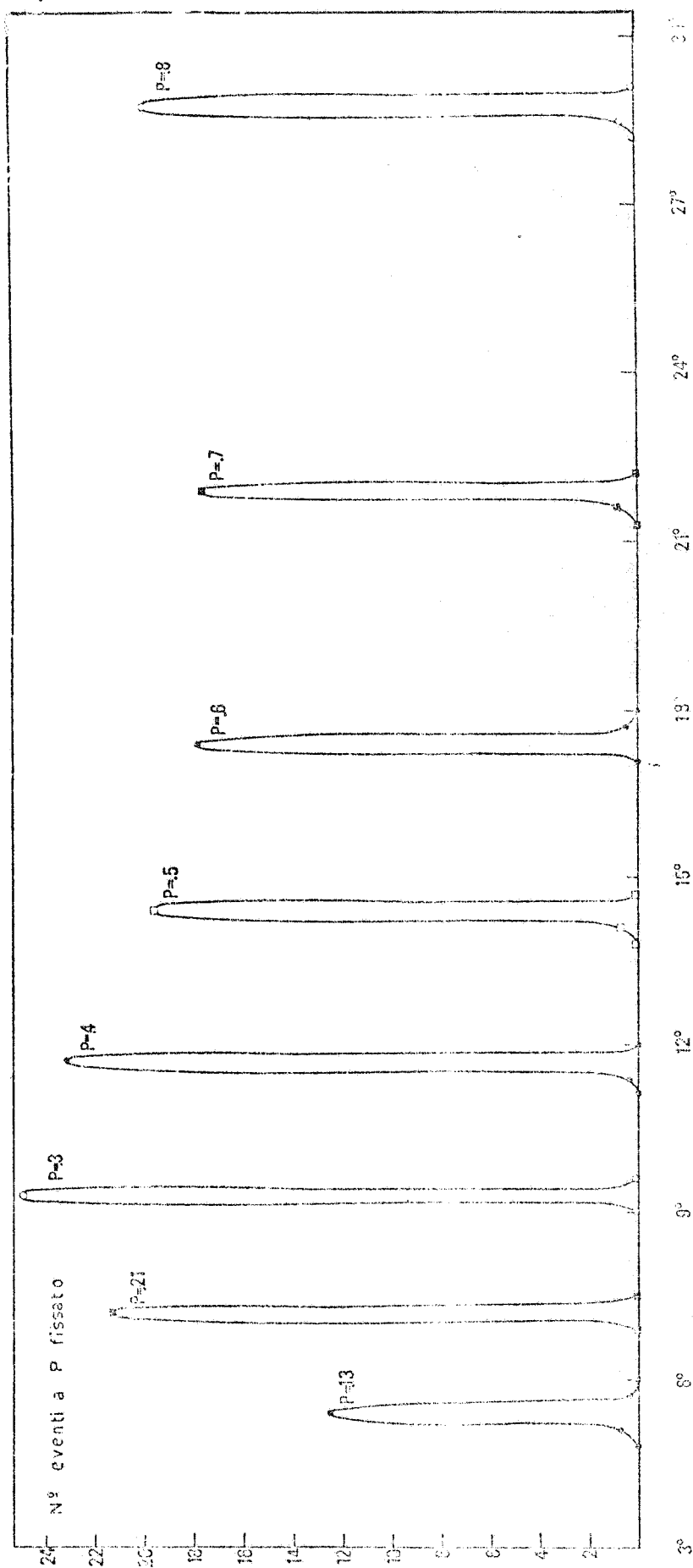


FIG. 9 - Spettro del punto di arrivo sul tagging degli elettroni dovuti a bremsstrahlung su gas, per vari valori di P .

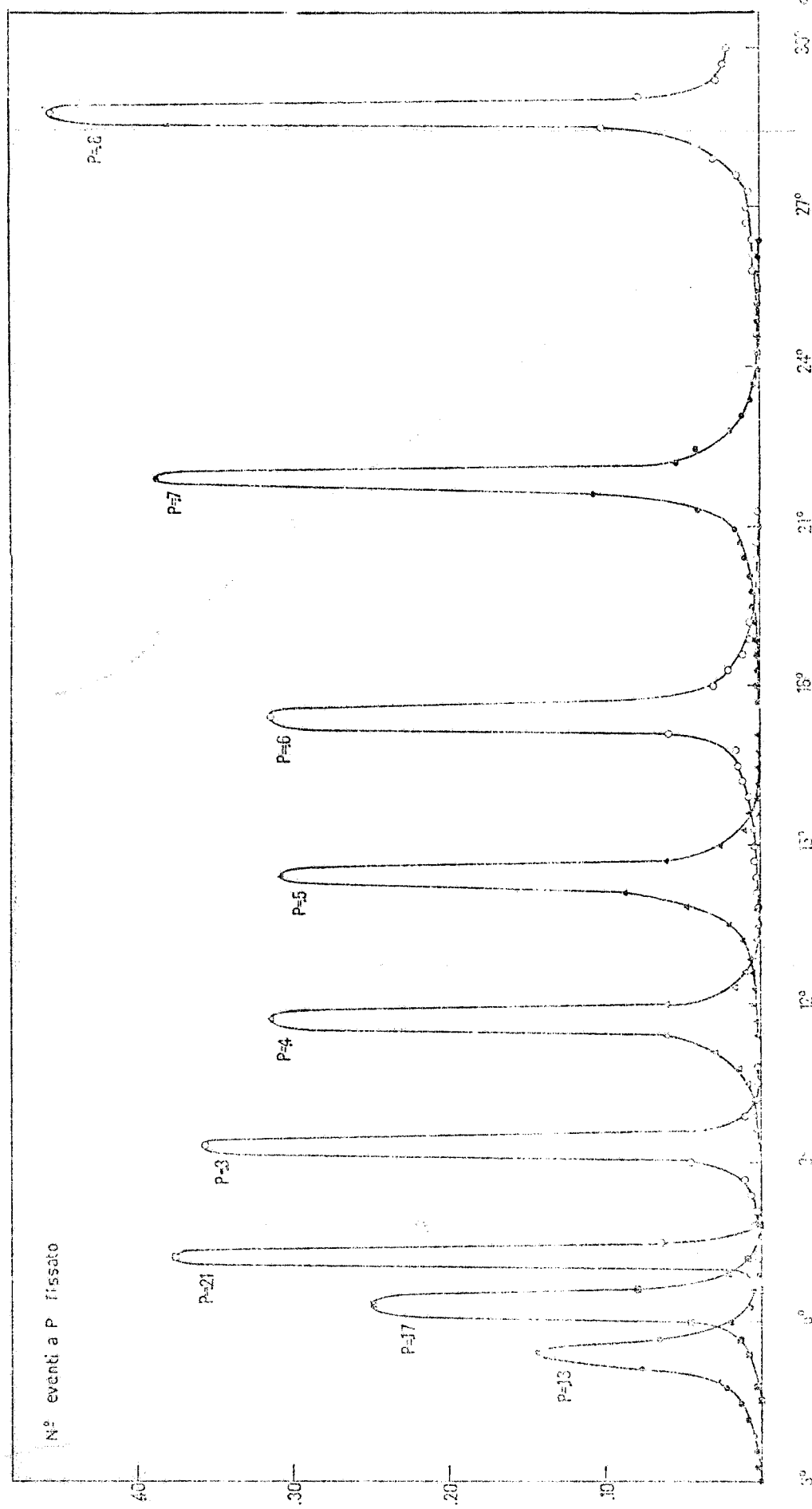


FIG. 10 - Spettro del punto di arrivo sul tagging degli elettroni dovuti ad interazione fotone-fotone, per vari valori di P .

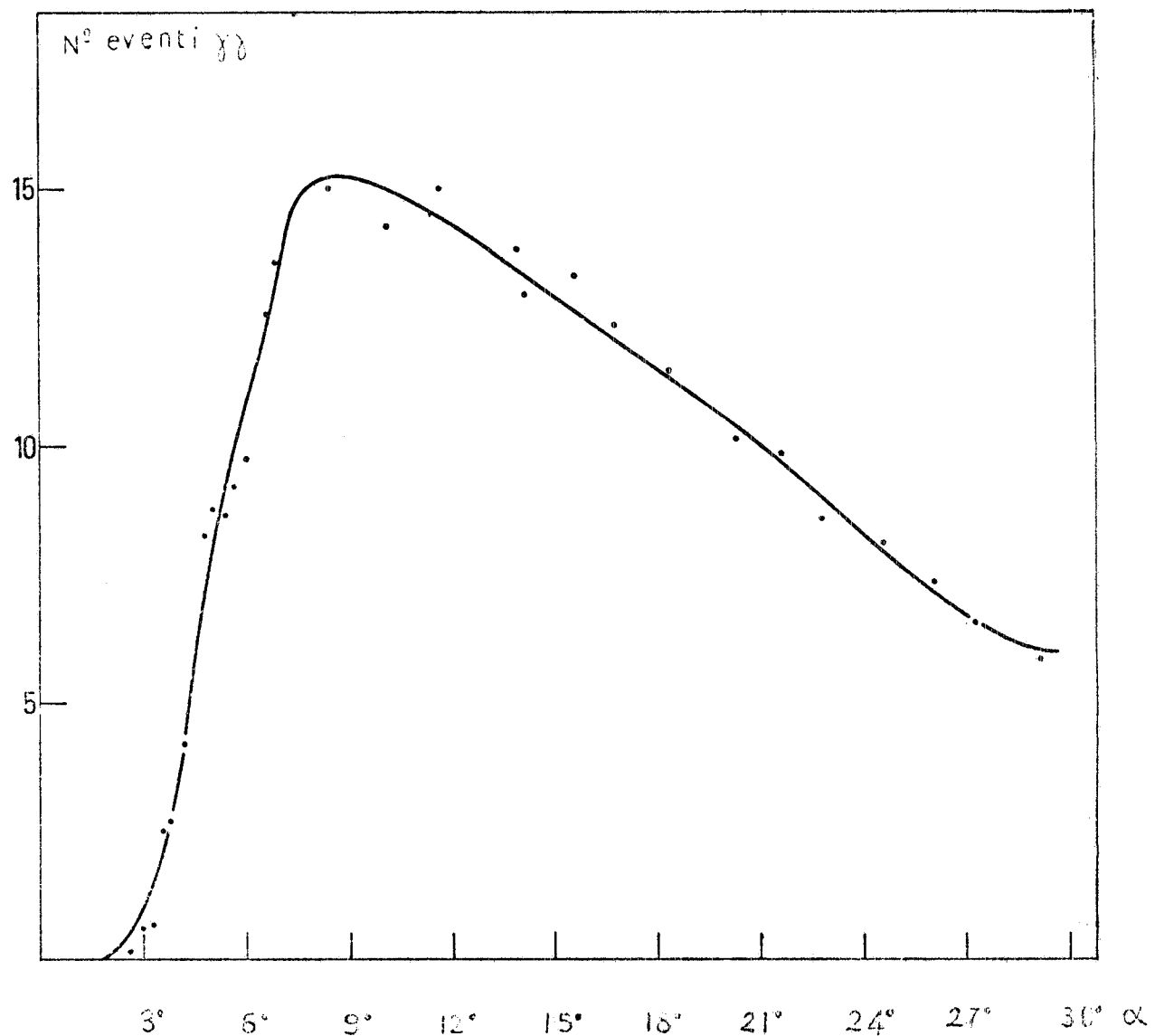


FIG. 11 - Spettro del punto di arrivo sul tagging degli elettroni dovuti ad interazione fotone-fotone.

BIBLIOGRAFIA. -

- (1) - F. Amman, Frascati report LNF-66/6 (1966).
- (2) - F. Amman et al., Frascati report LNF-61/
- (3) - F. Amman et al., Estratto da Notiziario CNEN (1964).
- (4) - H. C. Dehne, M. Preger, S. Tazzari e G. Vignola, Frascati report LNF-72/75 (1972).
- (5) - H. A. Bethe and W. Heitler, The Theory of Radiation (Oxford, 1966).
- (6) - J. M. Jauch and R. Rohrlich, The Theory of Photons and Electrons (Reading, 1959).
- (7) - H. W. Kock and J. W. Motz, Rev. Mod. Phys. 31, 920 (1959).
- (8) - G. Barbiellini et al., report PEP-203, p. 159.
- (9) - S. J. Brodsky, T. Kinoshita and H. Terazawa, Phys. Rev. D4, 1532 (1971).
- (10) - S. J. Brodsky, T. Kinoshita and H. Terazawa, Phys. Rev. Letters 25, 972 (1970).
- (11) - G. Vignola, Frascati report LNF-71/15 (1971).
- (12) - H. G. Steffen, High Energy Beam Optics (New York, 1965).
- (13) - M. Bassetti e R. Bonanni, Memorandum interno (20/3/1969).
- (14) - M. Bassetti e M. Preger, Memorandum interno (5/1/1972).
- (15) - S. Tazzari, Frascati report LNF-67/23 (1967).

APPENDICE - Liste dei programmi utilizzati.

- LISTA 1 - Accettanza angolare del tagging.
 - Quota di arrivo degli elettroni sul tagging.
 - Taratura $P(\alpha)$ del tagging.
- LISTA 2 - Calcolo degli integrali della sezione d'urto di bremsstrahlung.
 - Numero di eventi a P fissato in funzione di α nella bremsstrahlung su gas.
- LISTA 3 - Calcolo dell'integrale dell'intensità nei processi $\gamma\gamma$.
 - Calcolo dell'efficienza geometrica nelle reazioni fotone-fotone.
 - Numero di eventi a P fissato in funzione di α nei processi fotone-fotone.
- LISTA 4 - Numero di eventi fotone-fotone in funzione di α .

N.B. - Nelle espressioni delle sezioni d'urto delle reazioni $\gamma\gamma$ e di bremsstrahlung su gas le energie sono state misurate in unità di masse elettroniche. I calcoli sono stati eseguiti per una energia dell'elettrone primario di 3000 masse elettroniche.

LISTA 1

0005 FORTRAN IV 360N-FD-470 3-3	MATNPGM	DATE 01/04/77	TIME
0001 PGR=3.14159			
0002 PGR=.115			
0003 X0=0			
0004 Y0=0			
0005 Z0=0			
0006 VFR=.24			
0007 RM=5.			
0008 AL=1.328			
0009 ALS=AL-70			
0010 AN=.563			
0011 AT=.293			
0012 A2=.325			
0013 AM=2.618			
0014 AD=.15			
0015 RC=RM-AD			
0016 KMAX=10			
0017 DO 6 NN=1,3			
0018 GO TO (20,21,22),NN			
0019 20 JA=1			
0020 JB=10			
0021 JC=1			
0022 GO TO 23			
0023 21 JA=20			
0024 JB=90			
0025 JC=10			
0026 GO TO 23			
0027 22 JA=91			
0028 JB=99			
0029 JC=1			
0030 23 DO 6 NT=JA,JB,JC			
0031 P=FLOAT(NT)*.01			
0032 FK=.849128/(SQR(P))			
0033 DK=.839937/(SQR(P))			
0034 DO 61 IF0=1,181,5			
0035 AFO=FLOAT(IF0-1)			
0036 TX=0			
0037 TF(IF0,EQ,91,OR,IF0,EQ,271) IX=1			
0038 F0=FLOAT(IF0-1)*PGR/180.			
0039 TND2=0			
0040 DO 1 IT=1,101,1			
0041 T0=FLOAT(IT-1)*.001			
0042 TND1=TND2			
C PRIMO TRATTO SEZ. DRIETTA			
C			
0043 TF(TX,EQ,1) TI=0.			
0044 TF(TX,NE,1.) TI=(ABS(TAN(T0))/SQR(1.+(TAN(F0))**2))			
0045 111 TF(F0,GT,(PGR/2.),AND,F0,LT,(3.*PGR/2.)) TI=-TI			
0046 XT=XT0*AL*S*TI			
0047 IF(ABS(XT).GE.RAD) GOTO 60			
0048 IF(TX,EQ,1.) VI=ABS(TAN(T0))			
0049 IF(TX,NE,1.) VI=(ABS(TAN(T0))*ABS(TAN(F0))/SQR(1.+TAN(F0)**2))			
0050 222 TF(F0,GT,PGR,AND,F0,LT,(2.*PGR)) VI=-VI			
0051 XT=XT0*AL*S*VI			
0052 TF(ABS(VI).GE.VFR) GOTO 60			
C PRIMO QUADRUPOLIO			
C			
0053 DO 2 K=1,KMAX			
0054 S=FLOAT(K)*AO /FLOAT(KMAX)			
0055 XT0=XT0*COS(FK*S)+TI*(SIN(FK*S)/FK)			
0056 TF(ABS(XT0).GE.RAD) GOTO 60			
0057 YT0=VI*COSH(DK*S)+VI*((SINH(DK*S))/DK)			

0058 $TF = ABS(YTQ) \cdot GE \cdot VER \cdot GO \cdot TD \cdot 60$
0059 2 CONTINUE
0060 $T10 = -EK * X1 * SIN(EK * AQ) + TI * COS(EK * AQ)$
0061 $V10 = YT * DK * SINH(DK * AQ) + VT * COSH(DK * AQ)$

C SECOND TRATTO SEZ. DRETIA

C $X5 = YTQ + A1 * T10$
0062 IF(ABS(X5) .GE. RAD)GO TO 60
0063 VS = YTQ + A1 * V10
0064 IF(ABS(VS) .GE. VER)GO TO 60
0065 TS = T10
0066 VS = V10

C SECOND QUADRUPOLI

C DO 3 J=1,KMAX
0068 SQ = EL(DAT(J)) * AQ / EL(DAT(KMAX))
0069 XSQ = XS * COSH(DK * SQ) + TS * (ISINH(DK * SQ)) / DK
0070 IF(ABS(XSQ) .GE. RAD)GOTO 60
0071 YSQ = VS * COS(EK * SQ) + VS * (ISINE(EK * SQ)) / EK
0072 IF(ABS(YSQ) .GE. VER)GOTO 60
0073 3 CONTINUE
0074 TSQ = XS * DK * SINH(DK * AQ) + TS * COSH(DK * AQ)
0075 VSQ = -YS * EK * SIN(EK * AQ) + VS * COS(EK * AQ)

C TERZO TRATTO SEZ. DRETIA

C $XF = XSQ + A2 * T10$
0077 IF(ABS(XF) .GE. RAD)GOTO 60
0078 YF = YSQ + A2 * VSQ
0079 IF(ABS(YF) .GE. VER)GO TO 60
0080 TF = TSQ
0081 VF = VSQ

C MAGNETE CURVANTE

C A = SQRT(TF**2 + VF**2 + 1.)
0083 PHE = (P * SQRT(TF**2 + 1.)) / A
0084 PERM = PHE
0085 NMAX = 200. * PGR ** R
0086 R0 = PERM * XF
0087 DO 4 N=1,NMAX
0088 BE = EL(DAT(N)) * 2. * PGR / NMAX
0089 QZ = (2 * R * VF) / (SQRT(TF**2 + 1.))
0090 SP = YF + QZ
0091 IF(ABS(SP) .GE. VER)GOTO 60
0092 D = 2. * ? * SIN(B/2.)
0093 R = SQRT(R0**2 + D**2 - 2. * R0 * D * SIN(B/2.))
0094 IF(RP .GE. (R * M * RAD))GOTO 60
0095 RP = ARCSIN((-D**2 + R0**2 + RP**2) / (2. * R0 * RP))
0096 FL = AM/RM
0097 IF(FP .GE. FL .OR. FP .LE. 0.)GOTO 60
0098 IF(RP .LE. RC)GOTO 14

4 CONTINUE
GOTO 60

14 PRINT9, P, AFD, TD, RP, FP, SP
0101 IND2 = 1
0102 GO TO 1

60 IND2 = 0
0103 IND3 = IND2 - IND1
0104 IF(IND3 .LT. 0) GO TO 61

1 CONTINUE
61 CONTINUE
6 CONTINUE
9 FORMAT(1X, 6E16.7)
END

LISTA 2

0001	DIMENSION SA(100)	0002	DIMENSION SAP(100)	0003	DO 91 TA=1,100	0004	SA(TA)=0	0005	91 CONTINUE	0006	PGR=.14159	0007	RAD=.115	0008	XI=0	0009	YI=0	0010	ZI=0	0011	F0=3001.	0012	VFR=.74	0013	RM=5.	0014	M=1.328	0015	ALR=AL-Z0	0016	AQ=.563	0017	AI=.293	0018	A2=.226	0019	AM=2.618	0020	AO=.15	0021	RC=RM-4)	0022	KMAX=10	0023	TGMAX=PGR	0024	YMIN=0.	0025	TGMX=.006	0026	YMTN=0.	0027	TGSTP=.5/E0	0028	JMAX=E*AL*G((TGMX**2+TGSTR**2)/TGSTR**2)	0029	DO 5 NN=1,3	0030	DO TD (20,21,22),NN	0031	JA=1	0032	JB=21	0033	JC=4	0034	DO TD 23	0035	JA=30	0036	JB=R0	0037	JC=10	0038	DO TD 23	0039	JA=91	0040	JB=91	0041	JC=2	0042	DO 6 NT=JA,JB,JC	0043	2=FI DAT(NT)*.01	0044	EATT=1.	0045	YST=0	0046	RS=0.	0047	DO 92 TA=1,100	0048	SAP(TA)=0.	0049	EK=.849128/ISQRT(P))	0050	IK=.839937/ISQRT(P))	0051	RADA=SQRT(1196.*{P**4.5)+6.1})	0052	TEZ=(4.23*P*P-.396*P+1.7)*.001	0053	YMAX=TOMAX*TEZ*RADA*RADA/(TOMAY*RADA+TEZ)	0054	K=31315373	0055	JEMX=2000	0056	DO 61 JF=1,JEMX	0057	AFO=RANDUN(K)*180.	0058	AFOG=RANDUN(K)*360.	0059	IX=0	0060	TF(AFO,F0,.90,.00,AFO,F0,.270.),IX=1	0061	F0=AFO*PGR/180.	0062	F0G=AFOG*PGR/180.	0063	YPS=RANDUN(K)*(YMAX-YMIN)	0064	TD=YPS*TEZ/(TEZ*RADA*RADA-YPS*RADA)
------	-------------------	------	--------------------	------	----------------	------	----------	------	-------------	------	------------	------	----------	------	------	------	------	------	------	------	----------	------	---------	------	-------	------	---------	------	-----------	------	---------	------	---------	------	---------	------	----------	------	--------	------	----------	------	---------	------	-----------	------	---------	------	-----------	------	---------	------	-------------	------	--	------	-------------	------	---------------------	------	------	------	-------	------	------	------	----------	------	-------	------	-------	------	-------	------	----------	------	-------	------	-------	------	------	------	------------------	------	------------------	------	---------	------	-------	------	-------	------	----------------	------	------------	------	----------------------	------	----------------------	------	--------------------------------	------	--------------------------------	------	---	------	------------	------	-----------	------	-----------------	------	--------------------	------	---------------------	------	------	------	--------------------------------------	------	-----------------	------	-------------------	------	---------------------------	------	-------------------------------------

```

2265      W=RANDIJN(K)*(WMAX-WMIN)
2266      T0G=SQRT(EXP(2.*W)-1.)*TGOSTR
2267      C      PRIMO TRATTO SEZ. ORBITA
2268      C
2269      T=IX.EQ.1) TI=0.
2270      T=(TX.NE.1.) TI=(ABS(TAN(TD))/SQRT(1.+(TAN(FD))**2))
2271      111  T=(FD.GT.(PGR/2.), AND, FD.LT.(3.*PGR/2.)) TI=-TI
2272      XT=XD+AL5*TI
2273      T=(ABS(XT).GE.RAD) GOTO 60
2274      T=(TX.EQ.1) VT=ABS(TAN(TD))
2275      T=(TX.NE.1.) VT=(ABS(TAN(TD))*ABS(TAN(FD))/SQRT(1.+TAN(FD)**2))
2276      222  T=(FD.GT.PGR, AND, FD.LT.(2.*PGR)) VT=-VT
2277      YT=YD+AL5*VT
2278      T=(ABS(YT).GE.VER) GOTO 60
2279      C      PRIMO QUADRUPOLI
2280      C
2281      D0=2, M=1, KMAX
2282      S=ELDAT(M)*AQ/ELDAT(KMAX)
2283      XTD=XT*COS(FK*S)+TI*(SIN(FK*S)/FK)
2284      T=(ABS(XTD).GE.RAD) GO TO 60
2285      VTD=MT*COSH(DK*S)+VT*((STNH(DK*S))/DK)
2286      T=(ABS(VTD).GE.VER) GO TO 60
2287      2  CONTINUE
2288      TTD=-FK*YT+TM(FK*AQ)+TI*(COS(FK*AQ))
2289      VT0=MT*KSTNH(DK*AQ)+VT*COSH(DK*AQ)
2290
2291      C      SECONDO TRATTO SEZ. ORBITA
2292      C
2293      XS=XTD+A1*TTD
2294      T=(ABS(XS).GE.RAD) GO TO 60
2295      YS=YTD+A1*VTD
2296      T=(ABS(YS).GE.VER) GO TO 60
2297      TS=TTD
2298      VS=VTD
2299      C      SECONDO QUADRUPOLI
2300      C
2301      D0=3, J=1, KMAX
2302      SD=ELDAT(J)*AQ/ELDAT(KMAX)
2303      XSD=YS*COSH(DK*SD)+TS*((STNH(DK*SD))/DK)
2304      T=(ABS(XSD).GE.RAD) GO TO 60
2305      VSD=YS*COS(FK*SD)+VS*((STN(FK*SD))/FK)
2306      T=(ABS(VSD).GE.VER) GO TO 60
2307      3  CONTINUE
2308      TSD=YS*DK*STNH(DK*AQ)+TS*COSH(DK*AQ)
2309      VSD=-YS*FK*STN(FK*AQ)+VS*COS(FK*AQ)
2310
2311      C      TERZO TRATTO SEZ. ORBITA
2312      C
2313      YF=XS0+A2*TSD
2314      T=(ABS(YF).GE.RAD) GO TO 60
2315      VF=YSD+A2*VSD
2316      T=(ABS(VF).GE.VER) GO TO 60
2317      TF=TS0
2318      VF=VSD
2319
2320      C      MAGNETE CURVANTE
2321      C
2322      A=SQRT(TF**2+VF**2+1.)
2323      B=(P*SQRT(TF**2+1.))/A
2324      P=PM*PA
2325      NMAX=210.*PGR*RR
2326      P=PM*XF
2327      D0=4, M=1, NMAX
2328      S=ELDAT(N)*2.*PGR/NMAX
2329      Q=(P*P*VF)/(SQRT(TF**2+1.))

```

```
0115      SP=YFF+07
0116      TF(ABS(LSP),GE,VER)GOTO 60
0117      DE2.*2*SIN(R/2.)
0118      DD=SDRT(RD**2+DD**2-2.*RD*DD*SIN(R/2.))
0119      TF(RD,GE,(RM+RADI)GOTO 60
0120      FPEARCO$((DD**2+DD**2+RD**2)/(2.*RD*RD))
0121      FL=AM/RM
0122      TF(RD,GE,FL,DD,FP,LE,0.)GOTO 60
0123      TF(FP,LE,RC)GOTO 14
0124      4. CONTINUE
0125      GOTO 60
0126      14 CALL SEZ(P,TQ,ED,TQG,EDG,ED,CONT)
0127      CONT=CONT*((TQ/TEZ)+(1./RADIA))**2
0128      CONT=CONT*(TQG**2+TGSTR**2)/TQG
0129      NST=NST+1
0130      DS=PS+CONT
0131      IA=((RD*180*100)/(EPGR*30))+1
0132      TF(IA,LE,1)IA=1
0133      TF(IA,GE,100)IA=100
0134      SAP(IA)=SAP(IA)+CONT
0135      CONT=CONT/FATT
0136      SA(IA)=SA(IA)+CONT
0137      GO TO 61
0138      60 CONTINUE
0139      61. CONTINUE
0140      VDI=(YMAX-YMIN)*2.*PGR*(WMAX-WMIN)*2.*PGR
0141      PS=(PS/JEMX)*VDI
0142      PRNTNTR5,P,PS
0143      PRNT 59
0144      PRNT 55
0145      PRNTNTR57,((IA,SAP(IA)),IA=1,100)
0146      6. CONTINUE
0147      PRNT 59
0148      PRNT 54
0149      PRNTNTR57,((IA,SA(IA)),IA=1,100)
0150      85 FORMAT(1X,1P=1,E16.7,5X,1PS=1,E16.7)
0151      52 FORMAT(1X,4D(1**1))
0152      55 FORMAT(20X,1TALEA!,3X,1N(AEA)  FISSATO  P1)
0153      57 FORMAT(4(EIF,3X,E16.7))
0154      54 FORMAT(1X,1TALEA!,3X,1N(AEA) SOMMATO SU P1)
0155      END
```

DATE	TIME
01/04/77	

DOS FORTRAN IV 360N-FD-479 3-8 SEZ

```
0001      SUBROUTINE SEZ(P1,TE,FF,T0,FG,FQ,FUND)
0002      IMPLICIT REAL*8(A-H,O-Z)
0003      FK=(1.-P1)*FQ
0004      E=FQ*P1
0005      PGR=3.14159
0006      FM=1.
0007      CTD=1.-5*TD**2
0008      ST0=DSORT(1.-CTD**2)
0009      TE(E,1.,AND,E.GE.,.998)E=1.
0010      P0=DSORT(FD**2-1.)
0011      P=DSORT(F**2-1.)
0012      AR=PI/E
0013      AR0=PI/FQ
0014      CT=CTD*DCOS(TE)+DSTN(TE)*ST0*DCOS(EG-FF)
0015      ST=(1.-CTD**2)**.5
0016      CF=(DCOS(TE)-CTD*CT)/ST0
0017      DA=5**2+P0**2+FK**2-2.*P0*FK*CTD+2.*P*FK*CT
0018      QD=2.*P1*P*(CT*CTD+ST*ST0*CF)
0019      QD=DA-QD
0020      RA=7.*7**((1./3.)*5./121.
0021      RB=7.*7**((1./3.)*1.2/121.
0022      RC=7.*7**((1./3.)*.3/121.
0023      R=(1./18A**2+001E-.557*(R0**2+001E+.357*(RC**2+001E)**2
0024      C=(D**2.7**2*(2.*R2E-131**21/(R0*FK*137.*4.*PGR**2)
0025      D=(D**2*ST**2*(4.*FD**2-001)/(E-P*CT)**2
0026      D=D**2*(STD)**2*(4.*E**2-001)/(ED-P0*CTD)**2
0027      H=2.*ST*ST0*CF*(4.*E*ED-00)
0028      AL=(1-AR*CT)*(1-AR0*CTD)
0029      AM=2.*FK**2*(P**2*ST**2+P0**2*ST0**2-2.*P*P0*ST*ST0*CF)
0030      L=(E-P*CT)*(ED-P0*CTD)
0031      FUN=ERFC((D+G*(H*AR*AR0/AL)+(AM/L))*ST0
0032      TE(FUN,LE,0.)FUN=0
0033      RETURN
0034      END
```

LISTA 3

DATE	TIME
01/04/77	
DOS FORTRAN IV 360N-FD-479 3-9	MATPGM
0001	DIMENSION SA(100)
0002	DIMENSION SAP(100)
0003	DO 21 IA=1,100
0004	S(AIA)=0
0005	21 CONTINUE
0006	PGR=3.14159
0007	RAD=.115
0008	X0=0
0009	Y0=0
0010	Z0=0
0011	VFR=.04
0012	VVRT=.04
0013	RM=5.
0014	AL=1.328
0015	ALS=AL-7.0
0016	AO=.553
0017	AI=.293
0018	A2=.325
0019	AM=.518
0020	AN=.15
0021	RC=RM-AN
0022	KMAX=10
0023	TMAX=PGR
0024	YMTN=0.
0025	DO 6 NN=1,3
0026	DO TD (20,21,22),NN
0027	20 JA=1
0028	JB=21
0029	JC=4
0030	FATT=3.
0031	DO TD 23
0032	21 JA=30
0033	JB=80
0034	JC=10
0035	FATT=1.
0036	DO TD 23
0037	22 JA=81
0038	JB=91
0039	JC=2
0040	FATT=6.
0041	DO 5 NT=JA,JB,JC
0042	P=FL(NATNT)*.01
0043	NST=0
0044	RS=0.
0045	DO 22 IA=1,100
0046	92 SAP(IA)=0.
0047	EK=.349128/(SORT(P))
0048	DK=.339937/(SORT(P))
0049	TSTR=.0001/(P**2)
0050	YMAX=.5*AL*NG((TMAX**2+TSTR**2)/TSTR**2)
0051	K=31315373
0052	DO 61 JF=1,2000
0053	AFERANDI(K)*190,
0054	TX=0
0055	IF(AF0.EQ.90..02.AFO.EQ.270.) IX=1
0056	FO=AF0*PGR/190.
0057	30 FFERANDI(K)
0058	YPS=FSTR*(YMAX-YMIN)
0059	TD=SORT(EXP(2*YPS)+1.)*TSTR
C	PRIMI TRATTI SEZ. DRTTA
0060	IF(IX.EQ.1) TI=0,
0061	IF(TY.YF.1. ITI=(ABS(TA(TD))/SORT(1,FITAN(FD))**2)

0062 111 TF(ED,GT,(PGR/2.),AND,ED,LT,(3.*PGR/2.))TI=-TI
0063 XT=XDEALS+TI
0064 TF(ABS(XT),GE,RAD)GOTO 60
0065 TF(TX,ED,1.)VI=ABS(TAN(ED))
0066 TI=(IV,NE,1.)VI=(ABS(TAN(ED))*ABS(TAN(ED)))/SQR(1.+TAN(ED)**2)
0067 122 TF(ED,GT,PGR,AND,ED,LT,(2.*PGR))VI=-VI
0068 VT=YDHALSAVI
0069 TF(ABS(VT),GE,VER)GOTO 60

C PRTMD QUADRUPOLI

0070 100 J=1,KMAX
0071 S0=EL(DAT(J))*AO/EL(DAT(KMAX))
0072 XTD=XT*COS(EK*S0)+TI*ISIN(EK*S0/EK)
0073 TF(ABS(XTD),GE,RAD)GO TO 60
0074 YTD=YT*COSH(EK*S0)+VI*(ISINH(EK*S0))/EK
0075 TF(ABS(YTD),GE,VER)GO TO 60
0076 2 CONTINUE
0077 TTD=-EK*YT*ISIN(EK*AQ)+TI*(COS(EK*AQ))
0078 VTD=YT*OK*ISINH(EK*AQ)+VI*COSH(EK*AQ)

C SECONDO TRATTO SEZ. PRITTA

0079 XS=XTD+A1*TIO
0080 TF(ABS(XS),GE,RAD)GO TO 60
0081 VS=YT D+A1*VTQ
0082 TF(ABS(VS),GE,VER)GO TO 60
0083 TS=TTD
0084 VS=VTD

C SECONDO QUADRUPOLI

0085 100 J=1,KMAX
0086 S0=EL(DAT(J))*AO/EL(DAT(KMAX))
0087 XSD=XS*COSH(EK*S0)+TS*(ISINH(EK*S0))/EK
0088 YSD=YS*COS(EK*S0)+VS*(ISIN(EK*S0))/EK
0089 TF(ABS(YS),GE,VER)GOTO 60
0090 3 CONTINUE
0091 TSD=YS*OK*ISINH(EK*AQ)+TS*COSH(EK*AQ)
0092 VSD=-YS*EK*ISIN(EK*10)+VS*COS(EK*AQ)

C TERZO TRATTO SEZ. PRITTA

0093 XF=XS0+A2*TS0
0094 TF(ABS(XF),GE,RAD)GOTO 60
0095 YF=YSD+A2*VS0
0096 TF(ABS(YF),GE,VER)GO TO 60
0097 TF=TS0
0098 VF=VS0

C MAGNETI CIRMANTE

0100 A=SQRT(TF**2+VF**2+1.)
0101 PH=(P*SQRT(TF**2+1.))/A
0102 R=PM*PH
0103 NMAX=200.*PGR*AO
0104 200 R=M*XF
0105 100 J=1,NMAX
0106 B=EL(DAT(J)*2.*PGR/NMAX
0107 DZ=(P*B*VF)/(SQRT(TF**2+1.))
0108 SD=VF*DZ
0109 TF(ABS(SD),GE,VER)GOTO 60
0110 DZ=2.*R*STN(B/2.)
0111 P=SQRT(DZ**2+DZ**2-2.*R*D*STN(B/2.))
0112 TF(P,DZ,(RM+RAD))GOTO 60
0113 RP=ARCS((1-DZ**2+R*D**2+R*D**2)/(2.*R*D))
0114 PI=AM/RM

```
0115      IF(FP.GE.FL.OR.FP.LE.0.)GOTO 50
0116      IF(FP.LE.30)GOTO 14
0117      4 CONTINUE
0118      GOTO 60
0119      14 CALL SIZ (P,TN,CNT)
0120      COUNT=COUNT*(TN**2+TST2**2)/TN
0121      NST=NST+1
0122      PS=PS+CONT
0123      TA=((FP*130*100)/(PGR*30))+1
0124      IF(TA.LE.1)TA=1
0125      IF(TA.GE.100)TA=100
0126      SAP(TA)=SAP(TA)+CONT
0127      COUNT=COUNT+FATT
0128      SA(TA)=SA(TA)+CONT
0129      GO TO 61
0130      60 CONTINUE
0131      61 CONTINUE
0132      VDL=(YMAX-YMIN)*PGR*NST/1F
0133      PS=(PS/NST)*VDL
0134      CALL PROD (P,PTOT)
0135      FFF=PS/PTOT
0136      PRINT 50
0137      PRINT 55,P,PS,FFF
0138      PRINT 50
0139      PRINT 55
0140      PRINT 57,(ETA,SAP(TA)),TA=1,100
0141      6 CONTINUE
0142      PRINT 59
0143      PRINT 54
0144      PRINT 57,(TA,SA(TA)),TA=1,100
0145      56 FORMAT(1X,'P%',F16.7,4X,'N%P%',F16.7,4X,'EFF%',F16.7)
0146      50 FORMAT(1X,4D15.11)
0147      55 FORMAT(20X,'TALEFAI',3X,'N(ALFA) = FISSATO P')
0148      57 FORMAT(4(16,3X,F16.7))
0149      54 FORMAT(1X,'TALEFAI',3X,'N(ALFA) SOMMATO SU P')
0150      END
```

DOS FORTRAN IV 360N-FD-479 3-8 SF7 DATE 01/04/77 TIME

```
0001      SUBROUTINE SF7(P,TF,CONT)
0002      C   FD,E,FK   IN UNITA DI MASSA ELETTRONICA
0003      C   CONT = SEZIONE DIURTA DIFFERENZIALE IN DTEA , DET
0004      PGR=3.14159
0005      A=1./137.
0006      FD=3001
0007      FK=FD*(1.-P)
0008      F=FD*P
0009      X=FK/FD
0010      R=(1./PGR)*A*X**2*(1-X)*FD*F
0011      C=STN(TF)/(F**2*TF**2+X**2)
0012      D=(1./PGR)*A*X**2*(1-X)**3*FD**2*F**2
0013      Z=F**4*TF**4+X**4+2*X**2*TF**2*X**2
0014      F=X**2*(F**2*TF**2+X**2)/(FD*F)
0015      G=(SIN(TF))**3/(Z*F)
0016      CONT=(B*C+2.*D*G)/(2.*PGR)
0017      RETURN
0018      END
```

DOS FORTRAN IV 360N-FD-479 3-3 SFDP DATE 01/04/77 TIME

```
0001      SUBROUTINE SFDP (P,FTOT)
0002      A=1./137.
0003      PGR=3.14159
0004      FD=3001.
0005      F=FD*P
0006      R=(FD**2+F**2)/(FD**2)
0007      C=A*DG(FD)-.5
0008      D=(FD-F)**2/(2.*FD**2)
0009      D=A*DG(2.*F/(FD-F))+1.
0010      F=(FD+F)**2/(2.*FD**2)
0011      G=A*DG(2.*F/(FD+F))
0012      FTOT=(A/(2.*PGR))*(B*C+D*G+F*G)
0013      RETURN
0014      END
```

LISTA 4

DOS FORTRAN IV 360N-FD-479 3-8	MAINPGM	DATE 01/04/77	TIME
0001 DIMENSION SA(100)			
0002 DO 91 IA=1,100			
0003 SA(IA)=0			
0004 91 CONTINUE			
0005 PGR=3.14159			
0006 RAD=.115			
0007 XD=0			
0008 YD=0			
0009 ZD=0			
0010 VFR=.04			
0011 RM=.5			
0012 AL=1.328			
0013 ALS=AL-ZD			
0014 AD=.563			
0015 AL=.293			
0016 A2=.326			
0017 AM=2.618			
0018 AD=.15			
0019 RM=RM-AD			
0020 KMAX=10			
0021 TMAX=.076			
0022 YM1N=0.			
0023 YMAY=.02			
0024 YM1N=.01			
0025 FATT=1.			
0026 K=537915			
0027 DO 61 JE=1,40000			
0028 PERANDUN(K)*(PMAX-PMIN)+PMIN			
0029 EK=.849128/(SQRT(P))			
0030 DK=.339937/(SQRT(P))			
0031 TSTR=.0001/(P**2)			
0032 YMAY=.5*AL*DG((TMAX**2+TSTR**2)/TSTR**2)			
0033 AERANDUN(K)*100.			
0034 TX=0			
0035 IF(AE1.EQ.00..OR.AE0.EQ.270.) TX=1			
0036 ED=AE0*PGR/100.			
0037 EST=RANDUN(K)			
0038 YPS=EST*(YMAX-YMIN)			
0039 TD=SORT(EXP(2*YPS)-1.)*TSTR			
C PRIMO TRATTO SEZ. D'IRITTA			
C TI(TX.EQ.1) TI=0.			
C TI(TX.NE.1.) TI=(ABS(TAN(TD))/SORT(1.+(TAN(ED))**2))			
111 TI(ED.GT.(PGR/2.),AND,ED.LT.(3.*PGR/2.)) TI=-TI			
C XI=XD+AL*S*TI			
C IF(ABS(XI).GE.RAD) GOTO 60			
C IF(TX.EQ.1.) VI=ABS(TAN(TD))			
C TI(TX.NE.1.) VI=(ABS(TAN(TD))/ABS(TAN(ED))/SORT(1.+TAN(ED)**2))			
222 TI(ED.GT.PGR,AND,ED.LT.(2.*PGR)) VI=-VI			
C XI=YD+AL*S*VI			
C IF(ABS(XI).GE.VF1) GOTO 60			
C PRIMO QUADRUPOLI			
C DO 2 I=1,KMAX			
0050 S=FLOAT(M)*AQ/FLOAT(KMAX)			
0051 XTQ=XI*COS(FK*S)+TI*(SIN(FK*S)/FK)			
0052 IF(ABS(XTQ).GE.RAD) GOTO 60			
0053 YTQ=VI*COSH(DK*S)+VI*((STNH(DK*S))/DK)			
0054 IF(ABS(YTQ).GE.VFR) GOTO 60			
0055 2 CONTINUE			
0056 TIQ=-FK*XI*SIN(FK*AQ)+TI*(COS(FK*AQ))			
0057 VIQ=VI*DK*S*INH(DK*AQ)+VI*COSH(DK*AQ)			
0058			

C C SECONDO TRATTO SEZ. DRTTA
C
0053 XS=X10+A1*T10
0054 IF(LABS(XS).GE.RAD)GOTO 60
0061 YS=Y10+A1*V10
0062 IF(LABS(YS).GE.VER)GOTO 60
0063 TS=T10
0064 VS=V10
C C SECONDO QUADRUPOLI
C
0065 DO 3 J=1,KMAX
0066 SQ=FLOAT(J)*AQ/FLOAT(KMAX)
0067 XS0=XS*COSH(DK*SQ)+TS*(CSINH(DK*SQ))/DK
0068 TF(LABS(XS0).GE.RAD)GOTO 60
0069 YS0=YS*COS(FK*SQ)+VS*(SIN(FK*SQ))/FK
0070 IF(LABS(YS0).GE.VER)GOTO 60
0071 3 CONTINUE
0072 TSQ=XS*DK*COSH(DK*AQ)+TS*COSH(DK*AQ)
0073 VSQ=-YS*FK*SIN(FK*AQ)+VS*COS(FK*AQ)
C C TERZO TRATTO SEZ. DRTTA
C
0074 XF=XSQ+A2*TSQ
0075 IF(LABS(XF).GE.RAD)GOTO 60
0076 VF=VSQ+A2*VSQ
0077 IF(LABS(VF).GE.VER)GOTO 60
0078 TF=TSQ
0079 VF=VSQ
C C MAGNETE CURVANTE
C
0080 A=SQRT(TF**2+VF**2+1.)
0081 PH=(P*SQRT(TF**2+1.))/A
0082 R=RM*PH
0083 NMAX=200.*PGR*R
0084 R=RM*VF
0085 DO 4 N=1,NMAX
0086 R=FLOAT(N)*2.*PGR/NMAX
0087 QZ=(P*R*VF)/(SQRT(TF**2+1.))
0088 SP=VF+QZ
0089 IF(LABS(SP).GE.VER)GOTO 60
0090 D=2.*P*SIN(B/2.)
0091 RP=SQRT(RN**2+D**2-2.*RN*D*SIN(B/2.))
0092 IF(RP.GE.(RM+RAD))GOTO 60
0093 FP=ARCCOS((D**2+RN**2+RP**2)/(2.*RN*RP))
0094 EL=AM/RP
0095 TF(FP,GF,FL,FR,LF,R,RC)GOTO 60
0096 TF(RP,LF,RC)GOTO 14
0097 4 CONTINUE
0098 GOTO 60
0099 14 CALL SEZ(P,T0,CONT)
0100 CONT=CONT*(T0**2+TSTR**2)/T0
0101 IA=((FP*180*100)/(PGR*30))+1
0102 IF(IA.LT.1)IA=1
0103 IF(IA.GE.100)IA=100
0104 CONT=CONT/EATT
0105 SA(IA)=SA(IA)+CONT
0106 GO TO 61
0107 60 CONTINUE
0108 61 CONTINUE
0109 PRINT 59
0110 PRINT 64
0111 PRINTS7,((IA,SA(IA)),IA=1,100)
0112 59 FORMAT(1X,40(' '))
0113 57 FORMAT(16,3X,E16.7)
0114 54 FORMAT(1X,'ITALFA',3X,'N%ALFA< SOMMATO SU P')
0115 END

0005 FORTRAN IV 360N-FD-479 3-8 SEZ DATE 01/04/77 TIME

0001 SUBROUTINE SFZ(P,TF,CONT)
0002 C E7,F,EK IN UNITA DI MASSA ELETTRONICA
0003 C CONT = SEZIONE DI URTO DIFFERENZIALE IN DTEA , DFT
0004 PGP=3.14159
0005 A=1./137.
0006 FD=3001
0007 EK=FD*(1.-P)
0008 F=FD*p
X=EK/FD
0009 R=(1./PGP)*A*X**2*(1-X)*FD*F
0010 C=SIN(TF)/(F**2*TF**2+X**2)
0011 D=(1./PGP)*A*X**2*(1-X)**3*FD**2*F**2
0012 Z=F**4*TF**4+X**4+2**2*TF**2*X**2
0013 F=X**2+(F**2*TF**2+X**2)/(FD*E)
0014 G=(SIN(TF))**3/(Z*F)
0015 CONT=(B*C+2.*D*G)/(2.*PGP)
0016 RETURN
END